

CDP7600 - TÓPICOS DE FÍSICA TEORICA I  
Professor - Saulo Davi Soares e Reis  
Programa de pós-graduação em física  
Universidade Federal do Ceará (UFC)

# Lista 1

## Métodos de Monte Carlo

Aluno: Antonio Mauricio Rocha Alencar Júnior	Matrícula: 561824
Aluno: Carlos Germano Lima de Sousa	Matrícula: 551955



# Conteúdo

## Página

<b>Questão 1</b>	<b>3</b>
Item (a)	3
Item (b)	3
Item (c)	4
Item (d)	4
Item (e)	4
Item (f)	5
Considerações finais	5
<b>Questão 2</b>	<b>6</b>
Item (a)	6
Item (b)	6
Item (c)	7
Item (d)	8
Considerações finais	9
<b>Questão 3</b>	<b>10</b>
Considerações finais	11
<b>Questão 4</b>	<b>11</b>
Item (a)	11
Item (b)	11
Item (c)	11
Considerações finais	11
<b>Questão 5</b>	<b>11</b>
Item (a)	11
Item (b)	12
Item (c)	12
Item (d)	14
Item (e)	14
Considerações finais	14

## Questão 1

**Enunciado:** Em sistemas termodinâmicos, a distribuição de Boltzmann descreve a probabilidade de encontrar um sistema em um estado específico com energia  $E$ . Este conceito é fundamental em diferentes níveis de energia. Considere a distribuição de Boltzmann para o problema do oscilador harmônico *clássico*:

$$P(x) \propto e^{-\beta E(x)}, \quad \text{com} \quad E(x) = \frac{1}{2}kx^2, \quad (1)$$

onde  $\beta = 1/k_B T$ ,  $k_B$  é a constante de Boltzmann e  $T$  é a temperatura. Sob estas condições, a distribuição de equilíbrio para a coordenada  $x$  é gaussiana, com média zero e variância  $\sigma^2 = 1/\beta k$ .

### Item (a)

**Enunciado:** Gere valores aleatórios de  $x$  a partir de uma distribuição uniforme e aceite-os com probabilidade proporcional a  $P(x)$  (método da rejeição). Assim, obtém-se uma amostra de valores  $x$  que devem refletir a distribuição de Boltzmann.

No processo de *Rejecting Sampling* foi implementado com uma distribuição uniforme para decidir quais valores seriam aceitos. A função utilizado para esse processo foi

$$g(x) = \frac{1}{2a} \quad \text{com} \quad -a \leq x \leq a, \quad (2)$$

adotando  $M = 50$  e  $a = 10$ , para que a inequação  $P(x) \leq M g(x)$ ,  $\forall x$ , com  $P(x)$  dada pela Eq. (1).

### Item (b)

**Enunciado:** Crie um histograma dos valores simulados de  $x$  e normalize-o para estimar a densidade de probabilidade empírica.

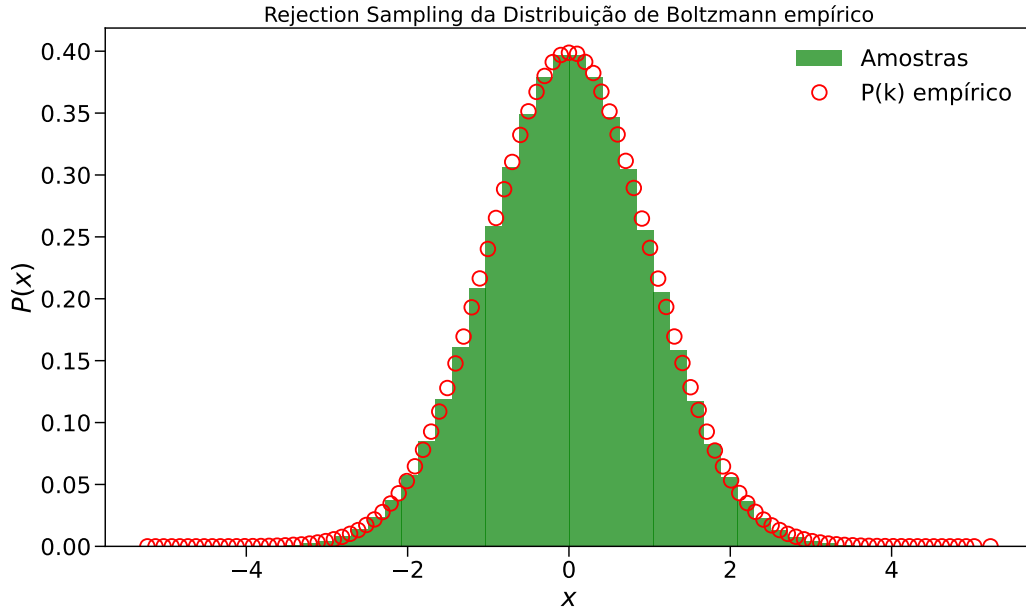


Figura 1: Histograma para a distribuição de amostras após o processo de *Rejecting Sampling*. Foi utilizado  $N_s = 10^7$  amostras. Os círculos vermelhos representam a distribuição normalizada oriunda do histograma. Foi utilizado  $k = k_B = T = 1$ , nos dando  $\beta = 1$ .

item (c)

**Enunciado:** Sobreponha a curva teórica da distribuição de Boltzmann, dada por:

$$P_{teórica}(x) = \sqrt{\frac{\beta k}{2\pi}} \exp\left(-\frac{\beta k x^2}{2}\right). \quad (3)$$

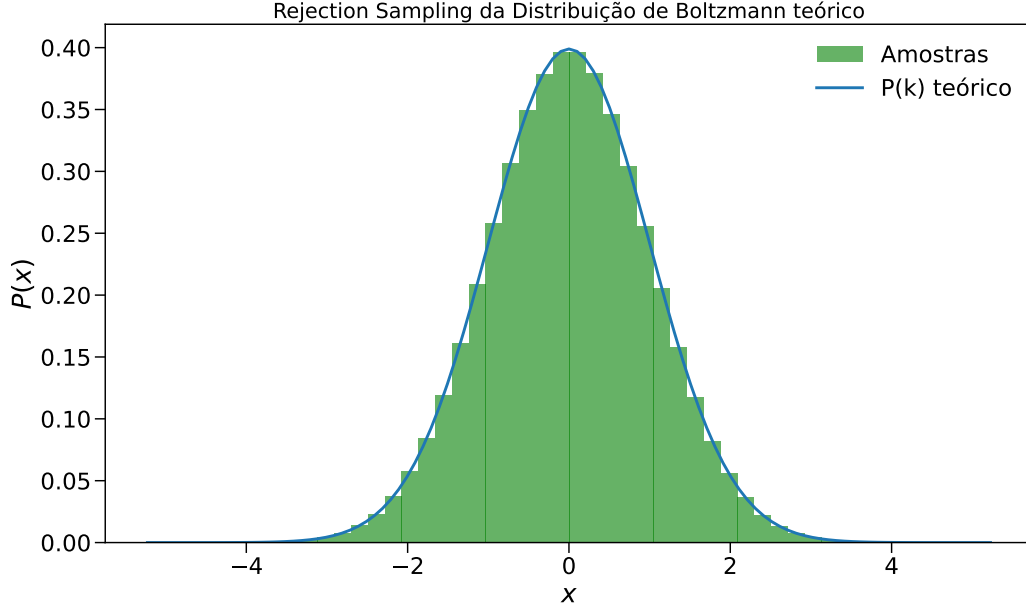


Figura 2: Histograma para a distribuição de amostras após o processo de *Rejecting Sampling*. A curva azul representa a curva teórica dada pela Eq. (3). Foi utilizado  $k = k_B = T = 1$ , nos dando  $\beta = 1$ .

Item (d)

**Enunciado:** Calcule a média e a variância da amostra obtida e compare com os valores teóricos:

$$\mathbb{E}[x] = 0, \quad Var(x) = \frac{1}{\beta k}, \quad (4)$$

Com o conjunto de amostras aceitas através do *Rejecting Sampling*, nós obtemos

$$\mathbb{E}_{emp}[x] = 0.00029, \quad Var_{emp}(x) = 0.99932, \quad (5)$$

comparando com o teórico, tendo  $Var(x) = 1/k\beta = 1$ :

$$\begin{cases} \Delta \mathbb{E} = |\mathbb{E}_{teo} - \mathbb{E}_{emp}| = 0.00029, \\ \Delta Var = |Var_{teo} - Var_{emp}| = 0.00068. \end{cases} \quad (6)$$

Item (e)

**Enunciado:** Realize os teste estatísticos de Kolmogorov-Smirnov (K-S) e qui-quadrado para avaliar quantitativamente se as amostras são consistentes com a distribuição teórica.

Ao realizar o teste de Kolmogorov-Smirnov obtivemos o parâmetro  $D$  do teste KS  $D = 0.0288461538$  com p-value = 1.00, enquanto o  $\chi^2 = 0.0000102625$  com p-value = 1.00.

## Item (f)

**Enunciado:** Crie um Q-Q plot para fornecer uma ferramenta visual adicional de comparação entre a distribuição empírica e a distribuição teórica. Dessa forma, além de inspeção visual (histograma e curva teórica), a média, a variância, bem como testes estatísticos e o Q-Q plot, fornecerão evidências quantitativas e gráficas da qualidade da aproximação Monte Carlo à solução analítica.

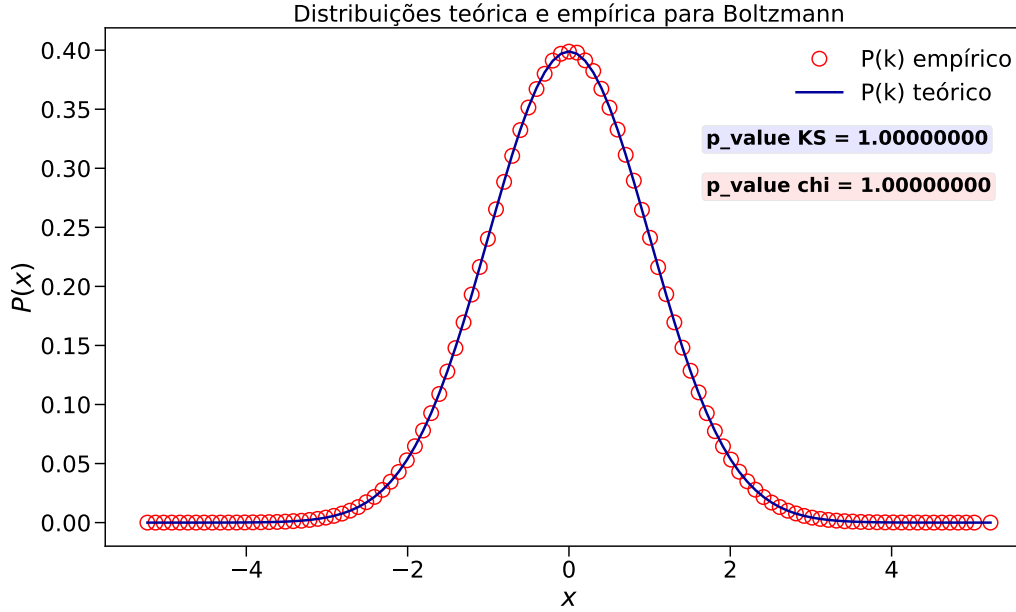


Figura 3: A curva sólida azul representa a distribuição de Boltzmann normalizada, representada na Eq. (3), enquanto os círculos vermelhos representam a distribuição empírica calculada partindo do histograma das amostras, por meio do *rejecting sampling*. O p-value para os testes de bondade KS e chi-quadrado estão representados no gráfico, sendo o p-value para o KS destacado de azul e o p-value para o teste chi-quadrado de vermelho. Foi utilizado  $k = T = k_B = 1$ , resultando em  $\beta = 1$ .

## Considerações finais

Tomando  $a = 10$  na distribuição uniforme e  $M = 50$  no *rejecting sampling*, entrando com  $N_{samples} = 10^7$  conseguimos obter um histograma com a distribuição teórica apenas a filtragem realizada pelo método, como expresso na Fig. 1.

Após aplicar o método *rejecting sampling*, realizamos um plot da distribuição teórica, expressa matematicamente na Eq. (3), e, como podemos notar, a curva encontra-se em concordância com o histograma. Com desvios na média e variância, em comparação ao teórico, muito baixo. Indicando uma concordância entre as distribuição teórica e empírica.

Após os cálculos dos desvios na média e variância, realizando os testes de bondade KS e chi-quadrado, com  $D = 0.0288461538$  e  $\chi^2 = 0.0000102625$ , ambos com p-value = 1.00. Indicando que a distribuição obtida através do *rejecting sampling* é oriunda da distribuição teórica. A Fig. 3 reforça essa afirmação, onde a curva sólida azul representa a distribuição teórica e os círculos vermelho a distribuição empírica obtida pelo *rejecting sampling*.

## Questão 2

**Enunciado:** Sistemas estáveis, como reações químicas em equilíbrio ou certos tipos de circuitos biológicos, frequentemente apresentam potenciais com múltiplos mínimos. Um exemplo clássico é o potencial

$$V(x) = x^4 - 4x^2, \quad (7)$$

que possui mínimos estáveis e uma barreira entre eles. A dinâmica de uma partícula sujeita a este potencial, na presença de ruído térmico, pode ser descrita pela *equação de Langevin*, tipicamente escrita na forma unidimensional na forma:

$$\frac{dx}{dt} = -\frac{1}{\gamma} \frac{dV}{dx} + \eta(t), \quad (8)$$

onde  $\gamma$  é um coeficiente de amortecimento e  $\eta(t)$  é o ruído gaussiano com média zero e correlação  $\langle \eta(t)\eta(t') \rangle = 2D\delta(t-t')$ .

### Item (a)

**Enunciado:** Mostre que no *equilíbrio*, a distribuição de probabilidade estacionária da posição da partícula é a distribuição de Boltzmann:

$$P_{eq}(x) \propto e^{-\beta V(x)}, \quad (9)$$

com  $\beta = 1/k_B T$ .

Nós temos que  $D$  representa a intensidade do ruído, que é relacionado com a temperatura através da relação  $D = \frac{k_B T}{\gamma}$ . A equação de *Fokker-Planck* descreve a evolução temporal de uma função de densidade de probabilidade. Tendo uma distribuição de probabilidade no tempo e espaço  $\mathcal{P} = \mathcal{P}(x, t)$

$$\frac{\partial \mathcal{P}}{\partial t} = \left[ -\sum_{i=1}^N \frac{\partial}{\partial x_i} D_i^{(1)}(x_1, \dots, x_N) + \sum_{i=1}^N \sum_{j=1}^N \frac{\partial^2}{\partial x_i \partial x_j} D_{ij}^{(2)}(x_1, \dots, x_N) \right] \mathcal{P}, \quad (10)$$

tendo apenas um conjunto de variáveis  $x_1 = x$ , além de  $\mathcal{P} = P_{eq}$ , obtemos

$$\frac{\partial \mathcal{P}}{\partial t} = -\frac{\partial}{\partial x} \left( \frac{1}{\gamma} \left( -\frac{dV}{dx} \right) \mathcal{P} \right) + D \frac{\partial^2 \mathcal{P}}{\partial x^2}. \quad (11)$$

No estado estacionário  $\frac{\partial \mathcal{P}}{\partial t} = 0$ , obtendo

$$\frac{\partial}{\partial x} \left( \frac{1}{\gamma} \frac{dV}{dx} \mathcal{P}_{eq}(x) \right) = D \frac{\partial^2 \mathcal{P}_{eq}(x)}{\partial x^2}. \quad (12)$$

Multiplicando ambos os lados por  $\gamma$  e substituindo  $D = \frac{k_B T}{\gamma}$ :

$$\frac{\partial}{\partial x} \left( \frac{dV}{dx} \mathcal{P}_{eq}(x) \right) = k_B T \frac{\partial^2 \mathcal{P}_{eq}(x)}{\partial x^2}. \quad (13)$$

Reorganizando:

$$\frac{dP_{eq}}{P_{eq}} = -\frac{1}{k_B T} \frac{dV}{dx} dx, \quad (14)$$

integrando ambos os lados

$$\ln P_{eq}(x) = -\frac{1}{k_B T} V(x) + C, \quad (15)$$

aplicando exponencial em ambos os lados

$$P_{eq}(x) \propto e^{V(x)/k_B T} = e^{\beta V(x)}. \quad (16)$$

### Item (b)

**Enunciado:** Ao invés de resolver a equação de Langevin diretamente, utilize o *algoritmo de Metropolis* para simular o comportamento estatístico da partícula neste potencial. Escolha uma posição inicial aleatória  $x_0$ . A cada passo, proponho uma nova posição:

$$x_{nova} = x + \Delta x, \quad (17)$$

onde  $\Delta x$  é um passo aleatório, por exemplo, gerado a partir de uma distribuição uniforme ou normal. Calcule a variação do potencial:

$$\Delta V = V(x_{nova}) - V(x), \quad (18)$$

onde  $V(x)$  é dado pela Eq. (7). A nova posição  $x_{nova}$  é aceita com probabilidade:

$$P = \min(1, e^{-\beta \Delta V}). \quad (19)$$

Caso não seja aceita, a posição permanece em  $x$ . Plote a posição  $x$  como função do tempo  $t$ .

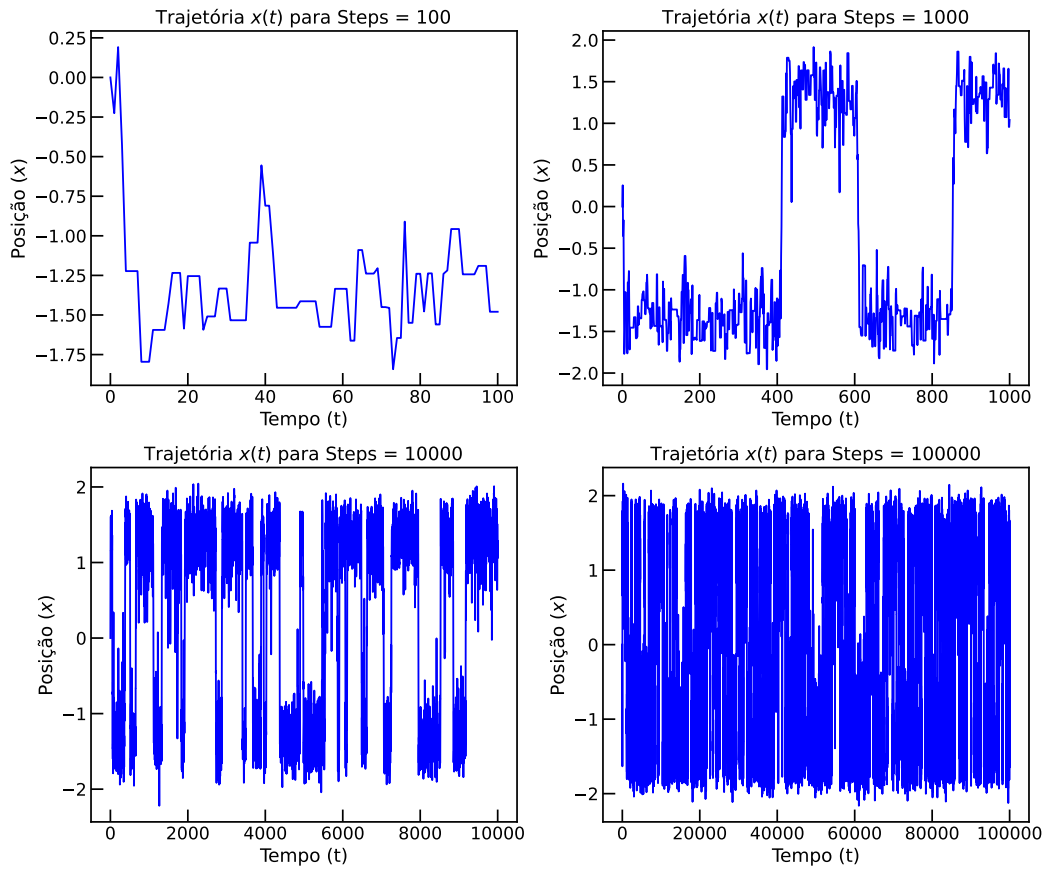


Figura 4: Em todas as quatro implementações expressa nos gráficos a posição inicial foi  $x_0 = 0$ , com  $\beta = 1.0$  e  $\Delta x = 0.5$ . Foram realizadas quatro implementações com  $N_{steps} = [10^2, 10^3, 10^4, 10^5]$ .

### Item (c)

**Enunciado:** Compare as distribuições estacionárias obtidas pela solução do estado estacionário e o histograma resultante das simulações do algoritmo de Metropolis e verifique que a distribuição de posições obtidas pelo Monte Carlo coincide com a distribuição de Boltzmann resultante da dinâmica de Langevin.

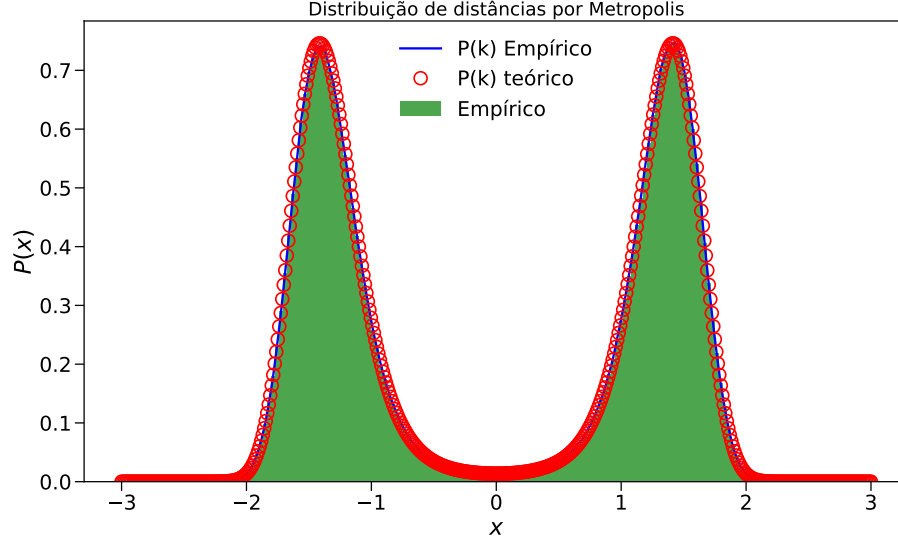


Figura 5: A curva sólida azul representa a distribuição empírica, obtida partindo do algoritmo de Metropolis para o problema. Enquanto os círculos representam a distribuição teórica expressa na Eq. (9). Foi utilizado  $\beta = 1.0$ ,  $x_0 = 0.0$ ,  $\Delta x = 0.5$  e  $N_{steps} = 10^7$ .

#### Item (d)

**Enunciado:** Realize longas simulações de Monte Carlo e calcule a probabilidade de encontrarmos a partícula na vizinhança dos mínimos do potencial  $V(x)$  como função da temperatura  $\beta$ .

O primeiro passo é encontrar os mínimos do potencial, tendo

$$V(x) = x^4 - 4x^2, \quad (20)$$

teremos

$$\frac{dV}{dx} = 4x^3 - 8x, \quad (21)$$

Tendo o ponto crítico em  $dV/dx = 0$ , obtemos

$$4x^3 - 8x = 0 \implies x(x^2 - 4) = 0, \quad (22)$$

teremos as três raízes

$$\begin{cases} x = 0, \\ x = \sqrt{2}, \\ x = -\sqrt{2}, \end{cases} \quad (23)$$

tomando a derivada segunda do potencial

$$\frac{d^2V}{dx^2} = 12x^2 - 8, \quad (24)$$

tomando em cada um dos pontos, obtemos

$$\begin{cases} \ddot{V}(x=0) = -8, \\ \ddot{V}(x=\sqrt{2}) = 16, \\ \ddot{V}(x=-\sqrt{2}) = 16, \end{cases} \quad (25)$$

logo,  $x = 0$  é um máximo e  $x = \pm\sqrt{2}$  são os mínimos



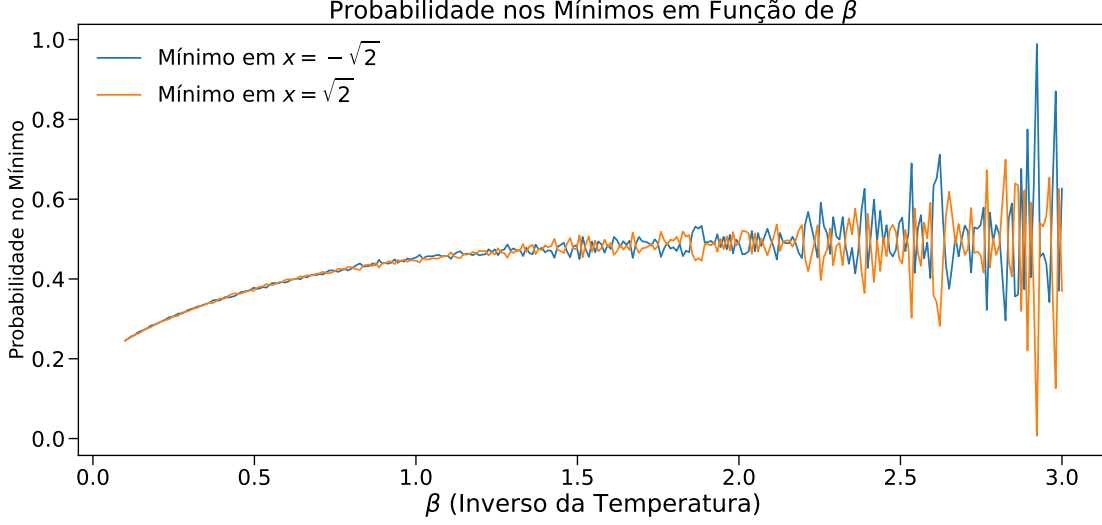


Figura 6: Em todas implementações foi utilizado a vizinhança do mínimo,  $x_{min} \pm \delta x$ , com  $\delta x = 0.5$ . Em todas implementações do Metropolis, tomamos os parâmetros  $x_0 = 0.0$ ,  $\Delta x = 0.5$ ,  $N_{steps} = 10^7$  passos e  $\beta = [0.1, 3.0]$  com 100 valores igualmente espaçados neste intervalo. A curva laranja representa a vizinhança do mínimo  $x_{min} = \sqrt{2}$ , enquanto a azul  $x_{min} = -\sqrt{2}$ .

## Considerações finais

Ao estabelecer  $x_0 = 0.0$  definimos que a partícula se encontra inicialmente num ponto de instabilidade, no máximo do potencial, entre os 2 poços de potencial. Após o primeiro passo de Metropolis, essa partícula tenderá para esquerda ou direita, com igual probabilidade. Uma vez definido o lado do seu próximo passo, a tendência é que ela caminhe em direção ao mínimo potencial em  $x_{min} = \pm\sqrt{2}$ , isso pode ser observado pela Fig 4. Com um número de passos pequeno, a partícula se encontrará presa, oscilando entorno desse mínimo. Conforme aumentamos o número de passos, a partícula adquira energia suficiente para sair daquele poço, no outro poço. Conforme observamos ao aumentar o número de passos. Mantendo esse comportamento ao longo do tempo.

Podemos observar pela Fig 5 que a distribuição de Boltzmann proposta na questão, expressa na Eq. (9) representada pelos círculos, coincidem com a curva empírica obtida pelo algoritmo de Metropolis, representada pela curva sólida azul. Mostrando que o método de Metropolis resulta numa dinâmica similar a dinâmica de Langevin.

Ao variarmos o valor de  $\beta$ , a probabilidade de encontrarmos a partícula entorno dos mínimos aumenta consideravelmente, como pode ser observado na Fig. 6. Isso ocorre devido ao fato do  $\beta$  controlar a largura dos máximos de probabilidade, como pode ser observado na Fig. 7. Para pequenos valores de  $\beta$ , a probabilidade de encontrarmos a partícula entorno do mínimo é pequena, conforme aumentamos o valor de  $\beta$ , o pico de probabilidade torna-se cada vez mais acentuado, refletindo em maiores chances de encontrarmos a partícula naquela região.

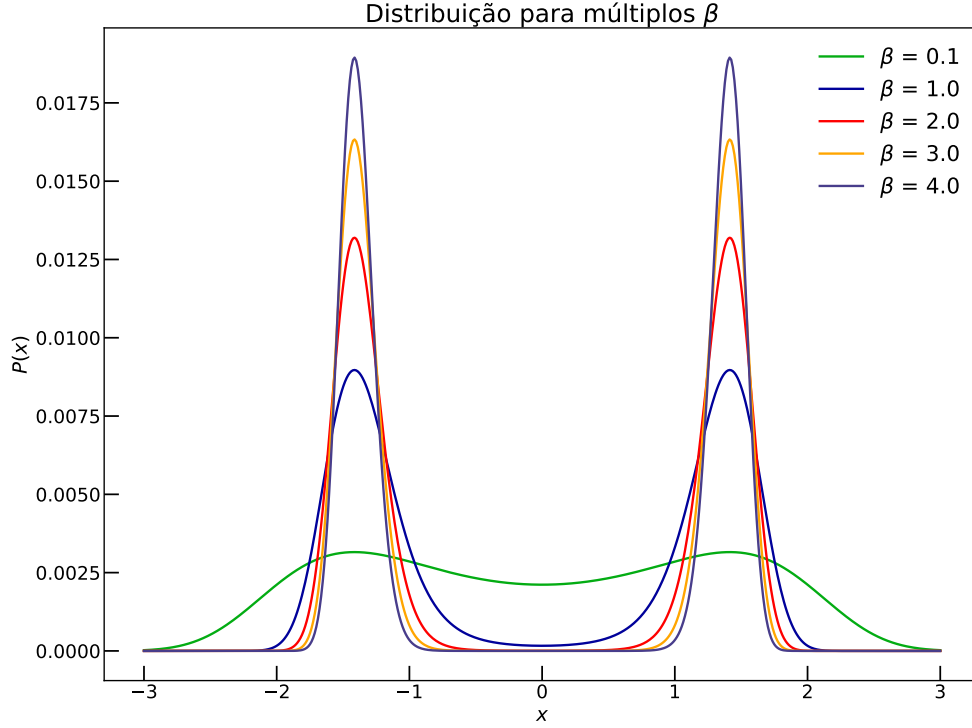


Figura 7: Distribuição de probabilidade em função da posição. Para  $\beta = [0.1, 1.0, 2.0, 3.0, 4.0]$

### Questão 3

**Enunciado:** A constante de Stefan-Boltzmann,  $\sigma$ , relaciona a energia total emitida por um corpo negro com sua temperatura. Ela é dada por:

$$\sigma = \frac{\pi^2 k_b^4}{60 h^3 c^2} \cdot \zeta(4), \quad (26)$$

onde  $\zeta(s)$  é a função zeta de Riemann. A função zeta de Riemann pode ser expressa na forma integral:

$$\zeta(s) = \frac{1}{\gamma(s)} \int_0^\infty \frac{x^{s-1} e^{-x}}{1 - e^{-x}} dx, \quad (27)$$

onde  $\gamma(s) = (s-1)!$  é a função Gamma. Utilizando *importance sampling*, gere amostras aleatórias de  $x$  de uma distribuição exponencial,  $\omega(x) = e^{-x}$ , que corresponde ao termo  $e^{-x}$  no integrando. Reescreva a integral como:

$$\zeta(s) = \frac{1}{\gamma(s)} \mathbb{E} \left[ \frac{x^{s-1}}{1 - e^{-x}} \right]. \quad (28)$$

Compare seu resultado de Monte Carlo com o valor exato:

$$\zeta(4) = \frac{\pi^4}{90}. \quad (29)$$

Nós reescrevemos a integral como na Equação (15), calculando a média das realizações para  $N = 10^6$  amostras um valor sorteado uniformemente de  $x$  no intervalo  $[0, 1]$  e depois atualizando este valor para  $x \leftarrow -\log(x)$ .

Assim, obtendo,

$$\langle \zeta(s) \rangle = 1.08$$

Sendo o valor exato,

$$\zeta(4) = 1.082323234\dots$$

Assim, temos uma diferença de 0.171%.

## Questão 4

**Enunciado:** Considere a integral de uma função  $f(\mathbf{x})$  em um espaço de  $d$  dimensões. A integral pode ser expressa como:

$$I = \int_{[0,1]^d} f(\mathbf{x}) d\mathbf{x}. \quad (30)$$

### Item (a)

**Enunciado:** Utilize Monte Carlo para estimar a integral acima. Gere  $N$  vetores  $\mathbf{x}$  com componentes uniformemente distribuídas no intervalo  $[0, 1]$  para  $d = 1$  e  $f(\mathbf{x}) = e^{-|\mathbf{x}|^2}$ .

Semelhante à questão anterior, calculamos a média sobre  $N$  realizações da soma da expressão (17) sorteando uniformemente os valores de  $x$  no intervalo  $(0, 1)$  para  $d = 1$ .

### Item (b)

**Enunciado:** Para diferentes valores de  $d$  ( $d = 2, 6, 10$ ), estude como o número de amostras  $N$  necessário para alcançar a precisão desejada varia com a dimensionalidade.

Ao variar a dimensão, vemos que o valor de  $I$  se aproxima com menor amostras do valor esperado quanto maior a dimensão.

### Item (c)

**Enunciado:** Calcule o erro padrão da média para cada caso e analise a taxa de convergência.

Ao calcular o erro padrão da média e plotá-lo em uma escala log-log, observamos que este erro cai com o número de amostras  $N$  seguindo uma lei de potência com expoente aproximadamente 0.5. Além disso, notamos como dito anteriormente que quanto maior a dimensão menor o erro.

## Questão 5

**Enunciado:** Em física de partículas, distribuições angulares podem descrever a probabilidade de observação de partículas em diferentes direções após colisões de alta energia. Como exemplo, considere a reação de aniquilação entre elétron e um pósitron para formar um par de múons ( $\mu^+\mu^-$ ). A probabilidade de observar um múon em um determinado ângulo  $\theta$  (medido a partir da direção do elétron incidente) é proporcional a:

$$P(\theta) \propto 1 + \cos^2(\theta), \quad \text{com } 0 \leq \theta \leq \pi. \quad (31)$$

Sob essas condições, o problema propõe a geração de amostras do ângulo  $\theta$  cuja distribuição segue a função de probabilidade acima usando métodos de Monte Carlo.

### Item (a)

**Enunciado:** Normalize a distribuição de probabilidades  $P(\theta)$ , determinando o fator de normalização.

Para encontrar o fator de normalização calculamos a integral

$$\int_0^\pi A(1 + \cos^2 \theta d\theta) = 1,$$

em que  $A$  é o fator de normalização. Daí, encontrando a solução da integral,

$$\begin{aligned} \int_0^\pi 1 + \cos^2 \theta d\theta &= \int_0^\pi \cos^2 \theta d\theta + \int_0^\pi d\theta = \\ \int_0^\pi \cos^2 \theta d\theta + \pi &= \int_0^\pi \frac{1 + \cos(2\theta)}{2} d\theta + \pi = \\ \int_0^\pi \frac{1}{2} d\theta + \int_0^\pi \frac{\cos(2\theta)}{2} d\theta + \pi &= \\ \pi + \frac{\pi}{2} &= \frac{3\pi}{2}. \end{aligned}$$

Portanto,

$$A \left( \frac{3\pi}{2} \right) = 1$$

Ficando com a constante de normalização,

$$A = \frac{2}{3\pi}.$$

Portanto, a probabilidade é dado por

$$P(\theta) = \frac{2}{3\pi} (1 + \cos^2(\theta)), \quad \text{com } 0 \leq \theta \leq \pi. \quad (32)$$

### Item (b)

**Enunciado:** Implemente um método de amostragem para gerar valores de  $\theta$  que sigam  $P(\cos(\theta))$  utilizando métodos de Monte Carlo por rejeição, ou seja, sorteie ângulos  $\theta$  uniformemente distribuídos em  $[0, \pi]$ . Assim, gere números aleatórios uniformes para decidir se cada  $\theta$  proposto é aceito com base em sua probabilidade relativa  $1 + \cos^2(\theta)$ .

A probabilidade obtida pela questão anterior tem como argumento o ângulo  $\theta$ ,

$$P(\theta) = \frac{2}{3\pi} (1 + \cos^2(\theta)), \quad \text{com } 0 \leq \theta \leq \pi.$$

Ao reescrevê-la em função de  $\cos(\theta)$ , ficamos com

$$P(\cos(\theta)) = \frac{2}{3\pi} \left( \frac{1 + \cos^2(\theta)}{\sin(\theta)} \right), \quad \text{com } 0 \leq \theta \leq \pi.$$

Note que o termo do seno no denominador vem da mudança de variável. Podemos também chamar  $x = \cos(\theta)$  e escrever a equação como,

$$P(x) \propto \frac{2}{3\pi} \left( \frac{1 + x^2}{\sqrt{1 - x^2}} \right), \quad \text{com } -1 \leq x \leq 1.$$

Assim, aplicando o método de Monte Carlo por rejeição. Obtemos

### Item (c)

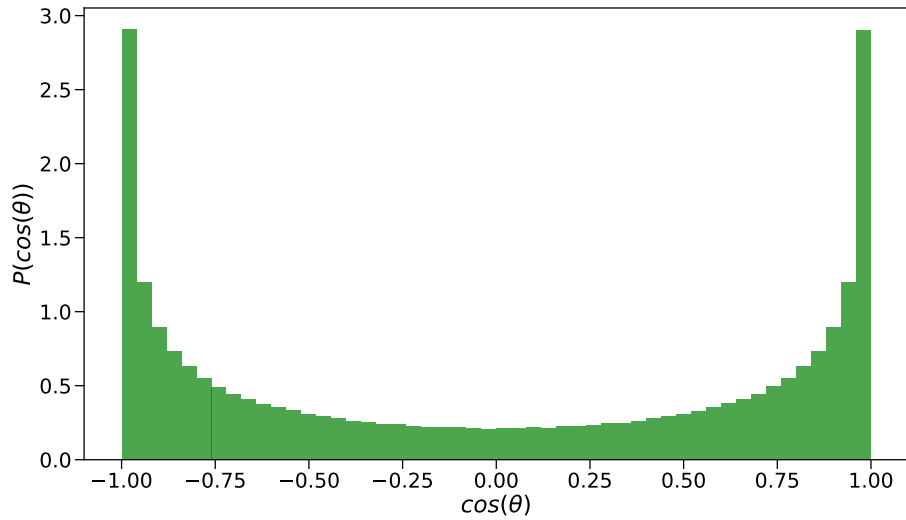


Figura 8: Histograma da distribuição de amostras após o processo de Monte Carlo por rejeição (Rejecting Sampling) utilizando  $P(\cos(\theta))$ . Foram utilizadas  $N_s = 10^6$  amostras. Note que a curva não está normalizada e a curva diverge em  $x = \pm 1$ .

**Enunciado:** Crie um histograma dos valores de  $\theta$  obtidos e compare com a distribuição teórica  $P(\theta)$ . Compare seu resultado com a Figura 10.

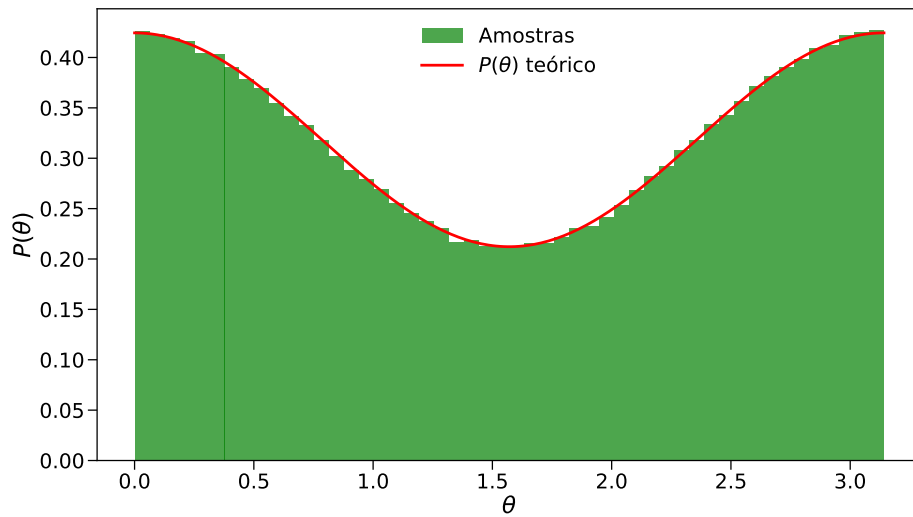


Figura 9: Histograma da distribuição de amostras após o processo de Monte Carlo por rejeição (Rejecting Sampling) utilizando  $P(\theta)$ . Foram utilizadas  $N_s = 10^6$  amostras. A curva sólida representa a probabilidade teórica  $P(\theta)$ . Observamos que as duas curvas coincidem.

A Fig. 8 representa uma curva proporcional à probabilidade  $P(\cos(\theta))$  bem como a Fig. 9 representa a probabilidade  $P(\theta)$  em si. Por outro lado, o histograma da Fig. 10 não representa a probabilidade, pois não foi realizada adequadamente a mudança de variável  $\theta \rightarrow \cos(\theta)$ .

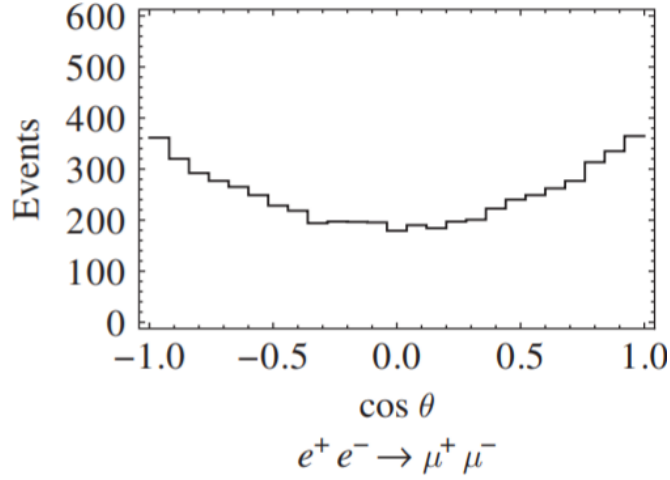


Figura 10: Distribuição angular na aniquilação  $\mu^+\mu^-$  produzida por simulações de Monte Carlo. Fonte: Mathew D. Schwartz, Quantum field theory and the standard model (Cambridge University Press, New York, 2014).

#### Item (d)

**Enunciado:** Calcule a média e a variância das amostras obtidas e compare com os valores teóricos para a distribuição normalizada.

O resultado da média e variância teórica são:

$$\mathbb{E}[x] = \frac{\pi}{2}, \quad \text{Var}(x) = \frac{2}{3\pi} \left( \frac{\pi^3}{3} + \frac{\pi^3}{6} \right) - \left( \frac{\pi}{2} \right)^2, \quad (33)$$

Com o conjunto de amostras aceitas através do *Rejecting Sampling*, nós obtemos

$$\mathbb{E}_{emp}[x] = 1.5705, \quad \text{Var}_{emp}(x) = 0.98, \quad (34)$$

comparando com o teórico, tendo  $\text{Var}(x) = 1/k\beta = 1$ :

$$\begin{cases} \Delta\mathbb{E} = |\mathbb{E}_{teo} - \mathbb{E}_{emp}| = 0.00029, \\ \Delta\text{Var} = |\text{Var}_{teo} - \text{Var}_{emp}| = 0.16. \end{cases} \quad (35)$$

#### Item (e)

**Enunciado:** Realize testes estatísticos como Kolmogorov-Smirnov (K-S) e qui-quadrado para avaliar quantitativamente se as amostras obtidas são consistentes com a distribuição teórica.

Ao realizar o teste de Kolmogorov-Smirnov obtivemos o parâmetro  $D$  do teste KS  $D = 0.000186$  com p-value = 0.8764, enquanto o  $\chi^2 = 0.00002337$  com p-value = 1.00.

Os valores de p-value indicam que as amostras obtidas são consistentes com a distribuição teórica.